

京都大学原子炉実験所 正員 筒井天尊
京都大学原子炉実験所 正員 ○西牧研究室

最近、わが国においても各地で原子力発電所が建設されているが、原子力発電所からは大量の放射性廃棄物が放出されると考えられる。放出された放射性廃棄物は地エレメント的又は永久に保管される。

地上に保管された放射性廃棄物から放射性物質が事故等により溶出して地中に漏洩した場合に放射性物質がどのように挙動をするかを知る必要がある。そこで放射性物質として、原子力発電所から大量に放出されると予測される ^{60}Co をとりあげ、 ^{60}Co が地下水中に混入した場合にどのような挙動をするかを研究した。

試料砂としては、京都大学原子炉実験所構内の帶水層より採取した砂を使用した。この砂の密度が 2.47 g/ml 、イオン交換容量が 0.032 meq/g 、透水係数が 0.68 cm/min である。また構内の帶水層中の地下水には Ca^{2+} が 30 ppm (as CaCO_3) 含まれる。

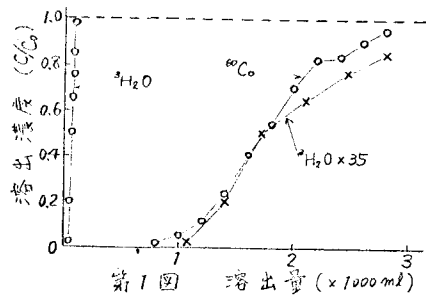
1) 通常の帶水層中に ^{60}Co が混入した場合

^{60}Co は地下水と同じ速度で移動せず、砂のイオン交換能力のため、砂に吸着され、ついで地下水に主として含まれた Ca^{2+} によって脱離されといった操作をくり返して砂層中を移動する。そこでカラムに試料砂 50 g を空げき率 0.45 でつめよ。地下水は ^{60}Co と三重水素水をそれぞれ $10 \mu\text{Ci/ml}$ 程度混入したものと原水とする。三重水素水は地下水のトレーサーとして用いる。カラムに原水を 5 ml/min の速度で通水し、汎液を 100 ml づつ採取する。このうち 2 ml で ^{60}Co の放射能濃度を G.M. 計数管で計測する。なお、

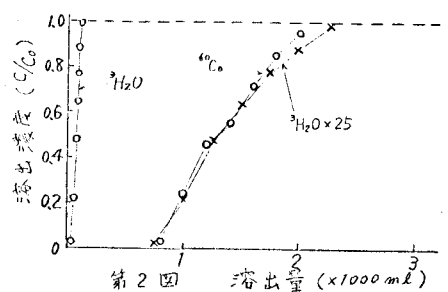
最初の 200 ml は 10 ml ブラフ液を採取し、蒸留により ^{60}Co と三重水素水を分離してから三重水素水の濃度を液体シンチレーションカウンターで計測する。原水の放射能濃度を C_0 とし、各汎液の放射能濃度を C として $\frac{C}{C_0}$ を計算し、通水量との關係をグラフに描くと第1図のよう溶出曲線が得られた。

^{60}Co の砂に対するイオン交換が Ca^{2+} に支配されると考えると、 ^{60}Co の移動速度は地下水の移動速度 $\times \frac{1}{K_f}$ となる。ここで、 $K_f = 1 + \{(1-f)/f\} \cdot \rho \cdot (K_{\text{Co}-\text{Ca}^{2+}})^{\frac{1}{2}} \cdot (\rho_0/\text{Ca}^{2+})$ ----- (1) である。

f は砂の空げき率、 ρ は砂の密度、 $K_{\text{Co}-\text{Ca}^{2+}}$ は ^{60}Co と Ca^{2+} の Mass Action Constant、 ρ_0 は砂の交換容量、 Ca^{2+} は地下水中の Ca^{2+} の濃度である。ペーカー内で $K_{\text{Co}-\text{Ca}^{2+}}$ を測定するとほぼ一定値 1.12×10^{-2} が得られたのでこの値より $K_f = 35$ が得られた。したがって第1図の三重水素水の溶出曲線を横へ 35 倍ひき伸ばしたもののが ^{60}Co の理論溶出曲線である。第1図より ^{60}Co の理論溶出曲線と実測溶出曲線が良く一致していることがわかった。したがって帶水層の砂の



第1図 溶出曲線



第2図 溶出曲線

容や生ずる、密度、空隙容積および帶水層中の Ca^{+2} 濃度がわかれれば ^{60}Co の移動速度が推定できる。また ^{60}Co の K_f が 35 といふのは、同じ試料に付してすでにえた ^{89}Sr の K_f が 100、 ^{137}Cs の K_f が 1900 にくらべてはさかに危険であることがわかった。

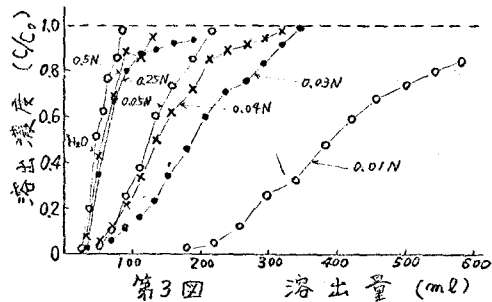
2) すてに硝酸性廃液で侵された帶水層中に ^{60}Co が混入した場合

再処理廢水のように硝酸性の廃液が帶水層を通過すると砂の表面および砂自体から大量の Ca^{+2} が溶出し、肉眼で半透明に変化するのが見られた。このように水槽にちかれた帶水層に ^{60}Co を混入した場合の移動状態をしげべた。カラムに H_2O を 500 つめ、まず 2N 硝酸溶液を 500 ml/day くらいの速度で 1ヶ月間通水し、カラムから Ca^{+2} が溶出しなくするまで確認した。こ

のカラムに前述 1) の場合と同じ原水を通水し、溶出曲線を第 2 図に示した。この溶出曲線は三重水素水の溶出曲線を横へ 25 倍ひきのばしたものと良く一致するので推定で $K_f = 25$ と考えられる。1) の場合の $K_f = 35$ なので、帶水層は硝酸性廃液で侵された後も前にくらべて ^{60}Co の移動を遅らせむ能力を割合程度有することを知った。

3) 硝酸性廃液中に ^{60}Co が含まれて帶水層中に混入した場合

H^+ が大量にあるため ^{60}Co のイオン交換能は H^+ に支配されると考えられる。したがって、まず 2N 硝酸溶液に ^{60}Co を混入してカラムに通水すると ^{60}Co は硝酸溶液と同じ速度で溶出したのでこの硝酸溶液が地下水でうすめられていく場合を考えた。地下水に硝酸溶液を加えて硝酸濃度を 0.5N から 0.01N まで各種作成したものにそれぞれ ^{60}Co と三重水素水を 1) の場合と同様に加えたものをもざ廢水とする。カラムに H_2O を 500 つめ、もざ廢水を通水し溶出曲線を第 3 図に示した。第 3 図において三重水



第 3 図 溶出量 (mL)

H^+ 濃度	0.5N	0.25N	0.05N	0.04N	0.03N	0.01N
K_f	1.19	1.24	2.46	2.71	3.58	8.01
K'	1.53 × 10 ⁻¹	4.85 × 10 ⁻²	1.18 × 10 ⁻²	8.85 × 10 ⁻³	7.51 × 10 ⁻³	2.26 × 10 ⁻³
K''	9.8 × 10 ⁻²	6.2 × 10 ⁻³	2.6 × 10 ⁻³	2.1 × 10 ⁻³	8.0 × 10 ⁻⁴	2.2 × 10 ⁻⁴
平均 K''	7.7×10^{-3}					

第 1 表

素水の溶出曲線は便宜上各溶出曲線の平均値を用いた。さて帶水層中のイオン交換が H^+ に支配されると考えると(1) 式は次のようになる。
$$K_f = 1 + \{(1-f)/f\} \cdot S \cdot K_{\text{Co}-\text{H}^+} \cdot (\frac{\text{Co}}{\text{CH}_3})^2 \quad \dots \dots \dots (2)$$

ここでビーカー内では $K_{\text{Co}-\text{H}^+}$ は Ca^{+2} が溶出するため帶水層中と条件がわり測定できないので第 3 図より K_f の値を逆に推定して第 1 表に示す。この K_f から $K'_{\text{Co}-\text{H}^+}$ を逆算すると第 1 表のようにはさみで、 $K'_{\text{Co}-\text{H}^+}$ は一定値を示さず、ほぼ H^+ 濃度に反比例しているのがわかった。これは ^{60}Co のイオン価が 2 価で H^+ のイオン価が 1 価であるのが原因と思われる。そこで $K'_{\text{Co}-\text{H}^+} = K_{\text{Co}-\text{H}^+} \cdot (\frac{\text{Co}}{\text{CH}_3})$ のよき値を考えると第 1 表のようには $K'_{\text{Co}-\text{H}^+}$ はほぼ一定でその平均値は 7.7×10^{-3} となった。この結果(2) 式は
$$K_f = 1 + \{(1-f)/f\} \cdot S \cdot K'_{\text{Co}-\text{H}^+} \cdot (\frac{\text{Co}}{\text{CH}_3}) \quad \dots \dots \dots (3) \quad \text{となり}, (1) \text{ 式と同じく簡単に } \text{H}^+ \text{ 濃度が変化しても } K_f \text{ の値を得ることができることを知った。}$$

以上の結果、 ^{60}Co が帶水層および含まれる廃液の化学的条件でどのように挙動を変化させるかを知った。また本実験では ^{60}Co の濃度がうすがったためラジオコロイドのようなものは測定されなかつたがラジオコロイドのようなものを考えると ^{60}Co の地中での挙動は環境に対してさらに危険性を増すと考えられる。